

# The stage shop scheduling problem: lower bound and metaheuristic

Mohammad Mahdi Nasiri\*, Mahdi Hamid

School of Industrial Engineering, College of Engineering, University of Tehran, Tehran, Iran

## Appendix C

**Table C.1**

The structure of stages for instance size 10×5

Job numbers	Number of stages	Number of operations in the stage				
		1	2	3	4	5
Job 01	1	5				
Job 02	4	2	1	1	1	
Job 03	5	1	1	1	1	1
Job 04	5	1	1	1	1	1
Job 05	2	4	1			
Job 06	5	1	1	1	1	1
Job 07	4	1	1	1	2	
Job 08	1	5				
Job 09	2	1	4			
Job 10	3	2	1	2		

**Table C.2**

The structure of stages for instance size 15×15

Job numbers	Number of stages	Number of operations in the stage														
		1	2	3	4	5	6	7	8	9	10	11	12	13	14	15
Job 01	7	1	2	4	1	3	2	2								
Job 02	12	1	1	2	2	1	1	2	1	1	1	1	1			
Job 03	13	1	1	1	2	1	2	1	1	1	1	1	1	1	1	
Job 04	4	4	3	5	3											
Job 05	8	1	2	1	1	2	2	2	4							
Job 06	10	1	2	2	1	2	1	2	1	2	1					
Job 07	14	1	1	1	1	1	1	1	1	1	1	2	1	1	1	
Job 08	4	3	6	4	2											
Job 09	8	2	2	2	1	1	1	2	4							
Job 10	11	2	2	2	1	1	1	2	1	1	1	1				
Job 11	11	1	1	1	2	1	1	1	2	2	1	2				
Job 12	2	13	2													
Job 13	5	1	3	1	5	5										
Job 14	14	1	2	1	1	1	1	1	1	1	1	1	1	1	1	1
Job 15	14	1	1	1	1	1	1	1	1	2	1	1	1	1	1	1

\* Corresponding author. E-mail addresses: mmnasiri@ut.ac.ir (M. M. Nasiri)



**Table C.5**  
The structure of stages for instance size 30×15

Job numbers	Number of stages	Number of operations in the stage														
		1	2	3	4	5	6	7	8	9	10	11	12	13	14	15
Job 01	14	2	1	1	1	1	1	1	1	1	1	1	1	1	1	
Job 02	14	1	1	1	1	2	1	1	1	1	1	1	1	1	1	
Job 03	7	3	3	2	1	1	3	2								
Job 04	6	2	1	4	1	1	6									
Job 05	9	1	1	2	1	1	1	1	1	6						
Job 06	10	1	2	1	2	1	2	1	1	2	2					
Job 07	4	1	5	2	7											
Job 08	13	1	1	1	1	2	1	1	1	1	2	1	1	1		
Job 09	3	10	1	4												
Job 10	6	2	1	2	2	3	5									
Job 11	7	1	2	1	4	3	1	3								
Job 12	15	1	1	1	1	1	1	1	1	1	1	1	1	1	1	
Job 13	12	1	2	1	1	2	1	1	1	1	2	1	1			
Job 14	3	9	2	4												
Job 15	12	2	1	1	1	1	2	1	1	2	1	1	1			
Job 16	10	2	1	1	2	2	2	1	1	2	1					
Job 17	8	2	2	1	1	1	2	2	4							
Job 18	9	1	1	1	1	1	2	1	2	5						
Job 19	3	3	2	10												
Job 20	14	1	1	1	1	1	1	1	1	1	2	1	1	1	1	
Job 21	12	2	1	2	1	2	1	1	1	1	1	1	1			
Job 22	11	1	1	2	1	2	1	2	2	1	1	1				
Job 23	15	1	1	1	1	1	1	1	1	1	1	1	1	1	1	
Job 24	10	2	2	1	2	1	2	1	1	1	2					
Job 25	8	1	2	1	2	1	2	1	5							
Job 26	8	2	2	2	1	2	1	1	4							
Job 27	5	3	3	6	2	1										
Job 28	2	1	14													
Job 29	14	1	1	1	1	1	2	1	1	1	1	1	1	1	1	
Job 30	8	2	1	1	1	1	1	1	7							













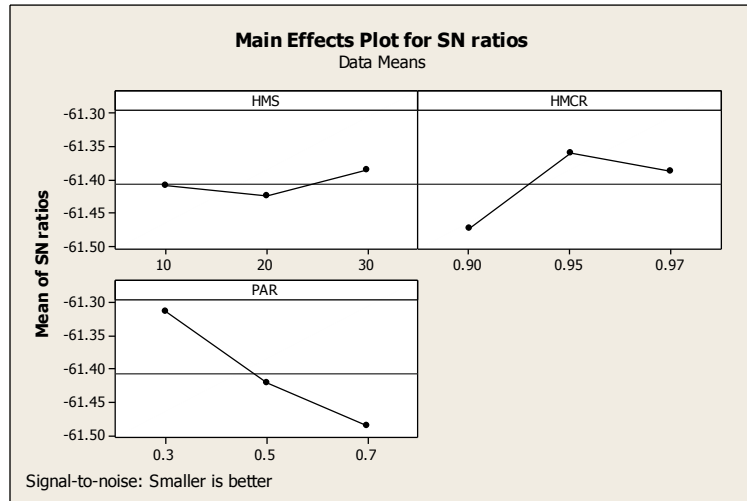


Fig. C.1. Analysis of Harmony search algorithm for the levels of HMS, HMCR and PAR.

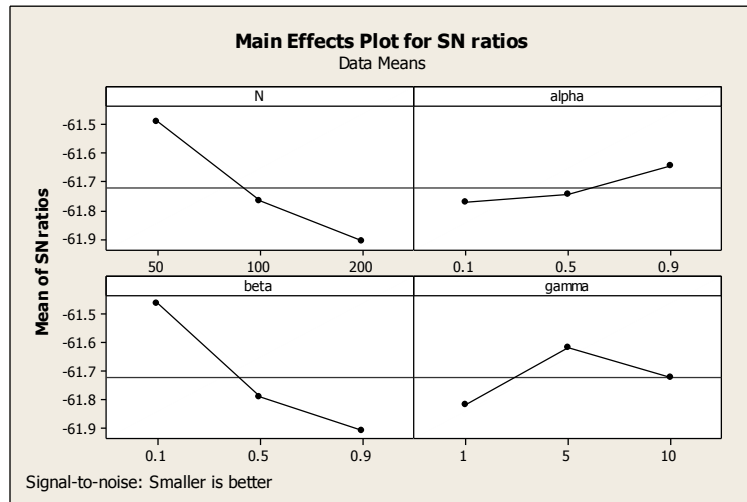


Fig. C.2. Analysis of Firefly algorithm for the levels of N-pop,  $\alpha$ ,  $\beta_0$  and  $\gamma$ .

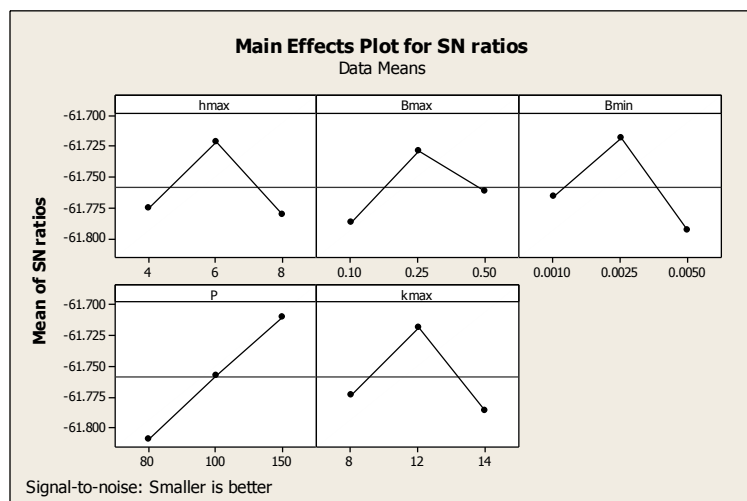


Fig. C.3. Analysis of WWO for the levels of n-Pop,  $\alpha$ ,  $k_{max}$ ,  $h_{max}$ ,  $\beta_{min}$  and  $\beta_{max}$ .

**Table C.11**

Kolmogorov–Smirnov normality test in the single-problem analysis.

Algorithms	ATA01	ATA02	ATA03	ATA04	ATA05	ATA06	ATA07	ATA08	ATA09	ATA10
HS	0.200	0.200	0.200	0.200	0.111	0.200	0.182	0.199	0.200	0.200
FF	0.157	0.200	0.200	0.143	0.200	0.200	0.200	0.200	0.099	0.200
WWO	0.146	0.200	0.024	0.200	0.011	0.200	0.200	0.200	0.200	0.200
Algorithms	ATA11	ATA12	ATA13	ATA14	ATA15	ATA16	ATA17	ATA18	ATA19	ATA20
HS	0.200	0.200	0.200	0.200	0.200	0.200	0.200	0.200	0.200	0.200
FF	0.200	0.200	0.200	0.200	0.200	0.200	0.200	0.200	0.003	0.200
WWO	0.200	0.200	0.200	0.200	0.200	0.200	0.200	0.200	0.200	0.038
Algorithms	ATA21	ATA22	ATA23	ATA24	ATA25	ATA26	ATA27	ATA28	ATA29	ATA30
HS	0.200	0.200	0.000	0.200	0.200	0.141	0.200	0.200	0.200	0.200
FF	0.138	0.200	0.200	0.077	0.198	0.163	0.200	0.200	0.011	0.200
WWO	0.200	0.061	0.197	0.200	0.085	0.200	0.200	0.033	0.200	0.200
Algorithms	ATA31	ATA32	ATA33	ATA34	ATA35	ATA36	ATA37	ATA38	ATA39	ATA40
HS	0.164	0.066	0.071	0.200	0.200	0.200	0.016	0.200	0.065	0.200
FF	0.200	0.200	0.200	0.200	0.008	0.200	0.135	0.043	0.200	0.200
WWO	0.200	0.200	0.200	0.200	0.137	0.200	0.200	0.167	0.009	0.200
Algorithms	ATA41	ATA42	ATA43	ATA44	ATA45	ATA46	ATA47	ATA48	ATA49	ATA50
HS	0.200	0.200	0.200	0.121	0.200	0.200	0.020	0.056	0.200	0.200
FF	0.200	0.200	0.200	0.048	0.126	0.200	0.200	0.200	0.193	0.200
WWO	0.200	0.200	0.200	0.048	0.200	0.200	0.200	0.200	0.089	0.174

**Table C.12**

Levene heteroscedasticity test in the single-problem analysis (based on means).

Algorithms	ATA01	ATA02	ATA03	ATA04	ATA05	ATA06	ATA07	ATA08	ATA09	ATA10
HS Vs. FF	0.008	0.965	0.050	0.262	0.094	0.722	0.568	0.759	0.516	0.573
HS Vs. WWO	0.502	0.408	0.092	0.069	0.425	0.08	0.171	0.404	0.248	0.015
FF Vs. WWO	0.028	0.441	0.81	0.401	0.445	0.177	0.306	0.288	0.106	0.004
Algorithms	ATA11	ATA12	ATA13	ATA14	ATA15	ATA16	ATA17	ATA18	ATA19	ATA20
HS Vs. FF	0.321	0.008	0.263	0.007	0.363	0.091	0.958	0.022	0.090	0.001
HS Vs. WWO	0.01	0.000	0.000	0.003	0.119	0.018	0.003	0.013	0.011	0.326
FF Vs. WWO	0.053	0.071	0.004	0.643	0.482	0.437	0.002	0.664	0.556	0.019
Algorithms	ATA21	ATA22	ATA23	ATA24	ATA25	ATA26	ATA27	ATA28	ATA29	ATA30
HS Vs. FF	0.079	0.437	0.130	0.023	0.119	0.634	0.001	0.005	0.191	0.375
HS Vs. WWO	0.004	0.136	0.012	0.000	0.725	0.000	0.000	0.000	0.078	0.01
FF Vs. WWO	0.412	0.433	0.177	0.256	0.206	0.001	0.973	0.298	0.778	0.066
Algorithms	ATA31	ATA32	ATA33	ATA34	ATA35	ATA36	ATA37	ATA38	ATA39	ATA40
HS Vs. FF	0.001	0.908	0.005	0.718	0.201	0.622	0.296	0.018	0.383	0.010
HS Vs. WWO	0.000	0.029	0.000	0.000	0.024	0.000	0.000	0.000	0.002	0.006
FF Vs. WWO	0.012	0.038	0.641	0.000	0.286	0.001	0.002	0.004	0.011	0.392
Algorithms	ATA41	ATA42	ATA43	ATA44	ATA45	ATA46	ATA47	ATA48	ATA49	ATA50
HS Vs. FF	0.002	0.259	0.143	0.009	0.135	0.936	0.059	0.646	0.13	0.167
HS Vs. WWO	0.001	0.000	0.008	0.000	0.006	0.001	0.000	0.000	0.009	0.000
FF Vs. WWO	0.728	0.006	0.103	0.082	0.375	0.001	0.013	0.000	0.273	0.023